

ОБЪЕДИНЕННЫЙ
ИНСТИТУТ
ЯДЕРНЫХ
ИССЛЕДОВАНИЙ
ДУБНА

P4-87-395

И.Н.Михайлов, Э.Х.Юлдашбаева,¹ Ш.Бриансон²

ЭЛЕКТРОМАГНИТНЫЕ ХАРАКТЕРИСТИКИ
НИЗКОЛЕЖАЩИХ СОСТОЯНИЙ
В ДВУХРОТОРНОЙ МОДЕЛИ ЯДРА

Направлено в журнал "Ядерная физика"

¹ Институт ядерной физики АН УзССР

² Центр ядерной спектрометрии и спектроскопии
масс, Орсе, Франция

I. Введение

В работе /1/ была предложена модель, в которой ядро представляется как два аксиальных ротатора (протонный и нейтронный), которые могут двигаться друг относительно друга (см. рис.1). Далее, в работах /2,3/ двухротаторная модель была развита с тем, чтобы получить возможность описывать в ее рамках внутренние возбуждения, которые могут иметь ненулевые значения проекции внутреннего углового момента на оси симметрии ротаторов. Там же были исследованы спектры состояний g - r -, β - и γ -полос с учетом смешивания их с состояниями s -полосы ($K^\pi = 1^+$), а также начато изучение электромагнитных характеристик указанных состояний.

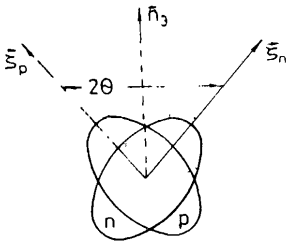


Рис. I

В данной работе мы приводим общие выражения для мультипольных операторов в рамках двухротаторной модели и систематизируем экспериментальные данные о вероятностях $E2$ - и $M1$ -переходов между состояниями g - r -, β - и γ -полос, а также даем некоторые оценки отношений вероятностей $M1$ - и $E2$ -распада состояний γ -полосы ядра ^{232}Th .

2. Мультипольные операторы в двухротаторной модели ядра

Все одночастичные операторы в данной модели могут быть записаны в виде

$$M(\lambda\mu) = M_p(\lambda\mu) + M_N(\lambda\mu). \quad (1)$$

Здесь

$$M_\alpha(\lambda\mu) = \sum_{\nu'} M'(\lambda\nu'; \hat{I}_\pm^{(\tau)}) D_{\mu\nu'}^\lambda(\Omega_\tau) \quad (2)$$

- оператор одной из подсистем ($\tau = p$ или N ; λ - мультипольность оператора); D - функции зависят от угловых переменных, описывающих ориентацию этой подсистемы в пространстве. Операторы $\hat{I}_\pm^{(\tau)}$

представляют собой угловые моменты подсистем, спроектированные на их внутренние оси.

Для анализа гамильтониана системы и для вычисления матричных элементов оператора (I) нужно перейти от переменных, описывающих ориентацию отдельных подсистем $\Omega_\tau \equiv \{\alpha_\tau, \beta_\tau, \gamma_\tau\}$, к угловым переменным $\Omega \equiv \{\alpha, \beta, \gamma\}$, определяющим ориентацию всей системы в пространстве, и переменной Θ , равной половине угла между осями симметрии ротаторов. Ориентация ядра в целом определяется правым ортонормированным репером, имеющим орты, выраженные через единичные вектора \vec{S}_p и \vec{S}_n , направленные вдоль осей симметрии протонной и нейтронной подсистем. При этом

$$\Theta = \frac{1}{2} \arccos(\vec{S}_p \cdot \vec{S}_n), \quad 0 \leq \Theta \leq \frac{\pi}{2}$$

Переход от одних угловых координат к другим можно осуществить, воспользовавшись соотношением

$$\vec{n}_i^c = \hat{R}_c \vec{n}_i, \quad (3)$$

в котором орты каждой из подсистем $\vec{n}_i^c \equiv \{\vec{e}_\tau, \vec{e}_\tau, \vec{e}_\tau\}$ совмещены с ортами всей системы \vec{n}_i ($i = 1, 2, 3$) поворотами

$$\begin{aligned} \hat{R}_p &= \hat{R}_p\left(\frac{\pi}{2}, \Theta, -\frac{\pi}{2}\right) = \hat{R}_N^{-1}, \\ \hat{R}_N &= \hat{R}_N\left(-\frac{\pi}{2}, \Theta, \frac{\pi}{2}\right) = \hat{R}_p^{-1}. \end{aligned} \quad (4)$$

Для D -функции Вигнера такой переход осуществляется использованием теоремы сложения поворотов:

$$\hat{R}(\Omega) = \hat{R}_c \hat{R}(\Omega_c), \quad (5)$$

$$D_{\mu\nu}^\lambda(\Omega_c) = \sum_{\nu'=-\lambda}^{\lambda} D_{\mu\nu'}^\lambda(\Omega) D_{\nu\nu'}^\lambda(\hat{R}_c^{-1}) \quad (6)$$

При малых значениях угла Θ , представляющих интерес в дальнейшем, можно использовать асимптотическое выражение для D -функции [4].

Имеем

$$\begin{aligned} D_{\mu\nu'}^\lambda(\Omega_p) &= \sum_{\nu} D_{\mu\nu}^\lambda(\Omega) \left\{ \delta_{\nu\nu'} - \frac{i\Theta}{2} \sqrt{(\lambda \pm \nu)(\lambda \mp \nu + 1)} \delta_{\nu, \nu' \pm 1} \right\}, \\ D_{\mu\nu'}^\lambda(\Omega_n) &= \sum_{\nu} D_{\mu\nu}^\lambda(\Omega) \left\{ \delta_{\nu\nu'} + \frac{i\Theta}{2} \sqrt{(\lambda \pm \nu)(\lambda \mp \nu + 1)} \delta_{\nu, \nu' \pm 1} \right\}. \end{aligned} \quad (7)$$

Подставив формулы (7) в (1) и (2), получим мультипольный оператор для системы в целом:

$$M(\lambda\mu) = M'_0(\lambda\mu) + M'_\Theta(\lambda\mu), \quad (8)$$

где

$$M'_0(\lambda\mu) = \sum_{\nu} D_{\mu\nu}^\lambda(\Omega) [M'_p(\lambda, \nu) + M'_n(\lambda, \nu)], \quad (9)$$

$$M'_\Theta(\lambda\mu) = \frac{-i\Theta}{2} \sum_{\nu} \sqrt{(\lambda \mp \nu)(\lambda \pm \nu + 1)} D_{\mu\nu}^\lambda(\Omega) [M'_p(\lambda, \nu \pm 1) - M'_n(\lambda, \nu \pm 1)]. \quad (10)$$

Оператор $M'_\Theta(\lambda\mu)$, пропорциональный Θ , обусловлен относительными смещениями протонов и нейтронов.

Следовательно, записывая мультипольный оператор в виде (8)-(10), мы перешли от угловых переменных Ω_τ к угловым переменным Ω и Θ . Чтобы $M(\lambda\mu)$ представить в самом общем виде, далее необходимо преобразовать операторы $\hat{I}_\pm^{(i)}$. В работах [1, 2] были введены величины $\hat{I} = \hat{I}_p + \hat{I}_n$ и $\hat{S} = \hat{I}_p - \hat{I}_n$ и найдена реализация операторов \hat{I}_i и \hat{S}_i ($i = 1, 2, 3$). Воспользовавшись формулами из [2], можно записать

$$\hat{I}_\pm^p = \frac{1}{2} (\hat{I}_\pm + \hat{S}_\pm), \quad \hat{I}_\pm^n = \frac{1}{2} (\hat{I}_\pm - \hat{S}_\pm) \quad (11)$$

Здесь применяются стандартные соотношения для сферических составляющих углового момента \hat{I}_\pm относительно внутренних осей (см. работу [5]) и вводятся следующие обозначения

$$\hat{S}_\pm = \frac{1}{\sqrt{2}} [(\hat{S}_1 - i\text{ctg}(2\Theta)) \pm i\hat{S}_2], \quad \hat{S}_0 = \hat{S}_3 \quad (12)$$

Выделим ту часть оператора, которая не зависит от переменной Θ и не содержит \hat{S}_\pm :

$$M_0(\lambda\mu) = \sum_{\nu} D_{\mu\nu}^\lambda(\Omega) [M'_p(\lambda, \nu; \frac{1}{2}\hat{I}_\pm) + M'_n(\lambda, \nu; \frac{1}{2}\hat{I}_\pm)] \quad (13)$$

Тогда мультипольные операторы в самом общем виде имеют вид

$$M(\lambda\mu) = M_0(\lambda\mu) + M_\Theta(\lambda\mu), \quad (14)$$

где

$$\begin{aligned} M_\Theta(\lambda\mu) &= \sum_{\nu} D_{\mu\nu}^\lambda(\Omega) \left\{ [M'_p(\lambda, \nu; \frac{1}{2}(\hat{I}_\pm + \hat{S}_\pm)) - M'_p(\lambda, \nu; \frac{1}{2}\hat{I}_\pm)] + \right. \\ &\quad \left. + [M'_n(\lambda, \nu; \frac{1}{2}(\hat{I}_\pm - \hat{S}_\pm)) - M'_n(\lambda, \nu; \frac{1}{2}\hat{I}_\pm)] \right\} + M'_\Theta(\lambda\mu) \end{aligned} \quad (15)$$

Здесь оператор $M_0(\lambda\mu)$ является изоскалярным, а оператор $M_\Theta(\lambda\mu)$ — изовекторным.

3. Матричные элементы операторов электрического квадрупольного и магнитного дипольного моментов

Построение собственных функций и изучение спектра состояний положительной четности в рамках двухротаторной модели выполнено в [2]. Волновые функции представляются суперпозициями состояний:

$$\begin{aligned} \tilde{\Psi}_{gr(\beta)} = & \left(\frac{2I+1}{2I'+1}\right)^{1/2} \left\{ \sqrt{2} D_{M,0}^I(\Omega) \varphi_{0,0}(\theta) + \right. \\ & \left. + i \theta_0 A_0 \sqrt{\frac{1}{2} I(I+1)} \left[D_{M,1}^I(\Omega) + D_{M,-1}^I(\Omega) \right] \varphi_{1,0}(\theta) \right\} \chi_0, \end{aligned} \quad (16)$$

$$\begin{aligned} \tilde{\Psi}_s = & \left(\frac{2I+1}{2I'+1}\right)^{1/2} \left\{ \left[D_{M,1}^I(\Omega) + (-1)^I D_{M,-1}^I(\Omega) \right] \varphi_{1,0}(\theta) + \right. \\ & + i \theta_0 A_0 \sqrt{\frac{1}{2} (I-1)(I+2)} \left[D_{M,2}^I(\Omega) + (-1)^I D_{M,-2}^I(\Omega) \right] \varphi_{2,0}(\theta) - \\ & \left. - i \theta_0 A_0 \sqrt{I(I+1)} D_{M,0}^I(\Omega) \varphi_{0,0}(\theta) \right\} \chi_0, \end{aligned} \quad (17)$$

$$\begin{aligned} \tilde{\Psi}_\gamma = & \left(\frac{2I+1}{2I'+1}\right)^{1/2} \left\{ \left[D_{M,2}^I(\Omega) \chi_2 + (-1)^I D_{M,-2}^I(\Omega) \chi_{-2} \right] \varphi_{0,0}(\theta) + \right. \\ & + \frac{3}{2} i \theta_0 A_0 \sqrt{(I-2)(I+3)} \left[D_{M,3}^I(\Omega) \chi_2 + (-1)^I D_{M,-3}^I(\Omega) \chi_{-2} \right] \varphi_{1,0}(\theta) - \\ & \left. - \frac{1}{2} i \theta_0 A_0 \sqrt{(I-1)(I+2)} \left[D_{M,1}^I(\Omega) \chi_2 + (-1)^I D_{M,-1}^I(\Omega) \chi_{-2} \right] \varphi_{1,0}(\theta) \right\} \end{aligned} \quad (18)$$

Здесь $A_0 = (\tilde{J}_p - \tilde{J}_n) / (\tilde{J}_p + \tilde{J}_n)$ есть отношение разности моментов инерции подсистем к их сумме; $\theta_0 = [(\tilde{J}_p + \tilde{J}_n) / (4\tilde{J}_p \tilde{J}_n \omega_s)]^{1/2}$ характеристическое значение угла θ ; χ_k - функции, связанные с внутренним движением нуклонов; $\varphi_{\alpha,n}(\theta)$ - функции, соответствующие относительным колебаниям протонов и нейтронов (где k, K, α, n - квантовые числа, определяющие базисные состояния).

Гамильтоновская матрица в этом базисе имеет вид

$$\hat{H} = \begin{array}{c} \begin{array}{cccc} & gr & \beta & \gamma & s \\ \begin{array}{c} I(I+1) \\ 2 \cdot \tilde{J} + \omega_{gr} \end{array} & & \frac{1}{2} I(I+1) D_{gr,\beta} & \sqrt{\frac{1}{2} (I-1) I(I+1)(I+2)} D_{gr,\gamma} & 0 \\ & & & & \\ & & \frac{I(I+1)}{2 \cdot \tilde{J}} + \omega_\beta & \sqrt{\frac{1}{2} (I-1) I(I+1)(I+2)} D_{\beta,\gamma} & -\sqrt{\frac{1}{2} I(I+1)} D_{s,\beta} \\ & & & & \\ & & & \frac{I(I+1)}{2 \cdot \tilde{J}_\gamma} + \omega_\gamma & \sqrt{(I-1)(I+2)} D_{s,\gamma} \\ & & & & \\ & & & & \frac{I(I+1)}{2 \cdot \tilde{J}} + \omega_s \end{array} \\ \begin{array}{c} gr \\ \beta \\ \gamma \\ s \end{array} \end{array} \quad (19)$$

где $\omega_{gr}, \omega_\beta, \omega_\gamma, \omega_s$ - головные энергии рассматриваемых полюсов; \tilde{J} и \tilde{J}_γ - инерционные параметры; $D_{gr,\beta}, D_{gr,\gamma}, D_{\beta,\gamma}, D_{s,\beta}, D_{s,\gamma}$ - параметры связи.

Для изучения электромагнитных переходов приступим к параметризации $M_p(\lambda\mu)$ и $M_n(\lambda\mu)$. При этом используем предыдущий раздел и получим окончательные выражения для приведенных вероятностей переходов.

Напишем оператор квадрупольного электрического момента для данной модели ядра, считая, что $M_\tau(\lambda\mu)$ от $\hat{I}_\pm^{(\tau)}$ не зависят. Имеем

$$M(E2, \mu) = M_o(E2, \mu) + M_\theta(E2, \mu) \quad (20)$$

В изоскалярном квадрупольном операторе

$$M_o(E2, \mu) = \sum_\nu D_{\mu\nu}^2(\Omega) \hat{m}'_{2,\nu} \quad (21)$$

компоненты квадрупольного тензора во внутренней системе координат

$$\hat{m}'_{2,\nu} \equiv M'_p(E2, \nu) + M'_n(E2, \nu) \quad (22)$$

можно представить следующим образом:

$$\hat{m}'_{2,\nu=0} = \begin{cases} Q_0, \\ m_0 (|\beta\rangle \langle gr| + |gr\rangle \langle \beta|), \end{cases} \quad (23)$$

$$\hat{m}'_{2,\nu=\pm 2} = m_2 (|\gamma\rangle \langle gr| + |gr\rangle \langle \gamma|),$$

$$\hat{m}'_{2,\nu=\pm 1} = 0,$$

где Q_0 - внутренний квадрупольный момент ядра; m_0 и m_2 - некоторые константы, определяемые из экспериментальных данных. Диагональные матричные элементы оператора (21) связывают состояния внутри полюсы, например,

$$\langle \tilde{\Psi}_\gamma^{I'M'} | \mathcal{M}_0(E2, \mu) | \tilde{\Psi}_\gamma^{IM} \rangle = \left(\frac{2I+1}{2I+3} \right)^{1/2} Q_0 C_{IM, 2\mu}^{I'M'} \times \left[C_{I2, 20}^{I', 2} + \frac{1}{4} \Theta_0^2 A_0^2 \sqrt{(I'-1)(I+2)(I-1)(I+2)} C_{I1, 20}^{I', 1} + 9 \sqrt{(I'-2)(I'+3)(I-2)(I+3)} C_{I3, 20}^{I', 3} \right] \quad (24)$$

Приведем также выражения для недиагональных матричных элементов (м.э.) изоскалярного оператора между состояниями с разными внутренними конфигурациями:

$$\langle \tilde{\Psi}_{gr}^{I'M'} | \mathcal{M}_0(E2, \mu) | \tilde{\Psi}_\beta^{IM} \rangle = \left(\frac{2I+1}{2I+3} \right)^{1/2} m_0 C_{IM, 2\mu}^{I'M'} \times \left(C_{I0, 20}^{I', 0} + \frac{1}{2} \Theta_0^2 A_0^2 \sqrt{I'(I'+1)I(I+1)} C_{I1, 20}^{I', 1} \right), \quad (25)$$

$$\langle \tilde{\Psi}_{gr}^{I'M'} | \mathcal{M}_0(E2, \mu) | \tilde{\Psi}_\gamma^{IM} \rangle = \left(\frac{2I+1}{2I+3} \right)^{1/2} m_2 \sqrt{2} C_{IM, 2\mu}^{I'M'} \times \left[C_{I-2, 22}^{I', 0} + \frac{1}{4} \Theta_0^2 A_0^2 \sqrt{I'(I'+1)} \left(3 \sqrt{(I-2)(I+3)} C_{I-3, 22}^{I', -1} - \sqrt{(I-1)(I+2)} C_{I-1, 22}^{I', 1} \right) \right] \quad (26)$$

Из формул (24)-(26) видно, что они отличаются от таких м.э., полученных в рамках модели жесткого ротатора, членами, пропорциональными $\Theta_0^2 A_0^2$, которые являются дополнительными поправками к правилам интенсивностей нулевого порядка. Эти члены помимо коэффициентов Клебша-Гордана содержат зависимость от угловых моментов I , возникающую в результате учета состояний с $\Delta J = 1$ в волновых функциях (см. работы [2, 3]). По той же причине оказываются отличными от нуля м.э. изоскалярного оператора

$$\langle I+2; s || \mathcal{M}_0(E2, \mu) || I; gr \rangle = i \Theta_0 A_0 Q_0 (I+1) \left[\frac{3(I+3)(I+1)}{2I+3} \right]^{1/2}, \quad (27)$$

$$\langle I+2; s || \mathcal{M}_0(E2, \mu) || I; \beta \rangle = i \Theta_0 A_0 m_0 (I+1) \left[\frac{3(I+3)(I+1)}{2I+3} \right]^{1/2}, \quad (28)$$

$$\langle I+2; s || \mathcal{M}_0(E2, \mu) || I; \gamma \rangle = i \Theta_0 A_0 m_2 (I-1) \left[\frac{(I+3)(I-1)I}{(I+2)(2I+3)} \right]^{1/2}. \quad (29)$$

Для изовекторной части квадрупольного оператора имеем

$$\mathcal{M}_\theta(E2, \mu) = -i \theta \left\{ \left(\frac{3}{2} \right)^{1/2} \left[Q_0^{(\theta)} + m_0^{(\theta)} (|\beta\rangle \langle gr| + |gr\rangle \langle \beta|) \right] + m_2^{(\theta)} (|\gamma\rangle \langle gr| + |gr\rangle \langle \gamma|) \right\} \left[D_{\mu, 1}^2(\Omega) + D_{\mu, -1}^2(\Omega) \right], \quad (30)$$

где $Q_0^{(\theta)}$, $m_0^{(\theta)}$, $m_2^{(\theta)}$ - также константы (см. формулы (10), (23)). Приведем некоторые м.э. оператора $\mathcal{M}_\theta(E2, \mu)$:

$$\langle I+2; s || \mathcal{M}_\theta(E2, \mu) || I; gr \rangle = -i \theta_0 Q_0^{(\theta)} \left[\frac{3(I+3)(I+1)}{2I+3} \right]^{1/2}, \quad (31)$$

$$\langle I+2; s || \mathcal{M}_\theta(E2, \mu) || I; \beta \rangle = -i \theta_0 m_0^{(\theta)} \left[\frac{3(I+3)(I+1)}{2I+3} \right]^{1/2}, \quad (32)$$

$$\langle I+2; s || \mathcal{M}_\theta(E2, \mu) || I; \gamma \rangle = -i \theta_0 m_2^{(\theta)} \left[\frac{(I+3)(I-1)I}{(I+2)(2I+3)} \right]^{1/2}. \quad (33)$$

Сопоставляя (31) с (27), видим, что смешивание состояний по числу \mathcal{Z} , учтенное в волновых функциях (16)-(18), приводит к сравнимым (при малых I) вкладам от изоскалярной и от изовекторной частей квадрупольного оператора в м.э. между состояниями s - и gr - полюсы. При больших спинах вклад в эти м.э. изоскалярной части может доминировать. То же относится и к м.э. $\langle \tilde{\Psi}_s^{I'M'} | \mathcal{M}(E2, \mu) | \tilde{\Psi}_\beta^{IM} \rangle$ и $\langle \tilde{\Psi}_s^{I'M'} | \mathcal{M}(E2, \mu) | \tilde{\Psi}_\gamma^{IM} \rangle$.

Изовекторная часть оператора приводит также к ненулевым значениям следующих м.э.:

$$\langle I+2; gr || \mathcal{M}_\theta(E2, \mu) || I; \beta \rangle = \Theta_0^2 A_0 m_0^{(\theta)} \sqrt{\frac{1}{2} I(I+1)} \left[\frac{3(I+3)(I+1)}{2I+3} \right]^{1/2}, \quad (34)$$

$$\langle I+2; gr || \mathcal{M}_\theta(E2, \mu) || I; \gamma \rangle = \Theta_0^2 A_0 m_2^{(\theta)} (2I+5) \left[\frac{(I-1)I}{2(2I+3)} \right]^{1/2}. \quad (35)$$

Запишем оператор магнитного дипольного момента ядра в виде

$$\mathcal{M}(M1, \mu) = \left(\frac{3}{4\pi} \right)^{1/2} \left(\frac{e\hbar}{2mc} \right) \left\{ \left[g_p \sum_{y'} \hat{I}_{y'}^p D_{\mu, y'}^1(\Omega_p) - g_p \hat{I}_3^p D_{\mu, 0}^1(\Omega_p) \right] + \left[g_N \sum_{y'} \hat{I}_{y'}^N D_{\mu, y'}^1(\Omega_N) - g_N \hat{I}_3^N D_{\mu, 0}^1(\Omega_N) \right] \right\}. \quad (36)$$

Прделав те же операции, что и в предыдущем разделе, перепишем оператор (36):

$$\mathcal{M}(M1, \mu) = \mathcal{M}_0(M1, \mu) + \mathcal{M}_\theta(M1, \mu), \quad (37)$$

где

$$\mathcal{M}_0(M1, \mu) = \frac{1}{2} \left(\frac{3}{4\pi}\right)^{1/2} \frac{e\hbar}{2mc} (g_p + g_N) \sum_{\nu} D_{\mu\nu}^1(\Omega) \hat{I}_{\nu}, \quad (38)$$

$$\mathcal{M}_{\Theta}(M1, \mu) = \frac{1}{2} \left(\frac{3}{4\pi}\right)^{1/2} \frac{e\hbar}{2mc} (g_p - g_N) \sum_{\nu} D_{\mu\nu}^1(\Omega) \hat{S}_{\nu}, \quad (39)$$

Изоскалярный оператор $\mathcal{M}_0(M1, \mu)$ дает вклад только в статический магнитный момент. Изовекторная часть оператора (37) также вносит вклад в статический магнитный момент, который оказывается равным

$$\mu = \frac{1}{2} \cdot \frac{g_p \hat{J}_p - g_N \hat{J}_N}{\hat{J}_p + \hat{J}_N} \cdot \mathbf{I}, \quad (40)$$

где g_p и g_N - гиромагнитные отношения соответствующих подсистем. Изовекторный оператор описывает магнитные дипольные переходы между уровнями системы. Этот оператор не изменяет внутреннего состояния ядра. Его м.э. между собственными функциями приводятся в работе [2]. Приведем м.э. оператора (39) между состояниями g^r - и S -полос:

$$\begin{aligned} & \langle I+1; s \| \mathcal{M}_{\Theta}(M1, \mu) \| I; g^r \rangle = \\ & = \frac{i}{\Theta_0} \left(\frac{3}{16\pi}\right)^{1/2} \frac{e\hbar}{2mc} (g_p - g_N) \left(\frac{I+2}{2}\right)^{1/2} \left[1 + \frac{1}{2} \Theta_0^2 A_0^2 I(I+3)\right]. \end{aligned} \quad (41)$$

В этих м.э. также появляются члены, пропорциональные $\Theta_0^2 A_0^2$ и зависящие от I , которые являются поправками к правилам интенсивностей. Матричные элементы между уровнями внутри S - и \mathcal{Y} -полос, определяющие $M1$ -переходы из состояний с нечетными значениями I на четные, имеют следующий вид:

$$\langle I-1; s \| \mathcal{M}_{\Theta}(M1, \mu) \| I; s \rangle = \frac{-1}{16} \left(\frac{3}{\pi}\right)^{1/2} \frac{e\hbar}{2mc} A_0 (g_p - g_N) (I+2) \left[\frac{(I+1)(I-1)}{I}\right]^{1/2}, \quad (42)$$

$$\langle I-1; \mathcal{Y} \| \mathcal{M}_{\Theta}(M1, \mu) \| I; \mathcal{Y} \rangle = -\left(\frac{3}{\pi}\right)^{1/2} \frac{e\hbar}{2mc} A_0 (g_p - g_N) \left[\frac{(I+2)(I-2)}{I}\right]^{1/2}. \quad (43)$$

Формулы (42), (43) получены с учетом смешивания состояний с $\Delta \mathcal{K} = 1$ в волновых функциях.

Для изучения неадиабатических эффектов в электрических и магнитных переходах между состояниями g^r -, β -, \mathcal{Y} - и S -полос с учетом смешивания их необходимо решить уравнение

$$\hat{H}_{\ell}^{\sigma} \tilde{\Psi}_{\ell}^{\sigma} = \mathcal{E}_{\ell}^{\sigma} \tilde{\Psi}_{\ell}^{\sigma} \quad (44)$$

на собственные значения и собственные функции, в котором \hat{H} - гамильтоновская матрица (19). Такая задача была выполнена на примере состояний положительной четности ядра ^{232}Th в работе [3]. При этом

собственные функции представлялись как

$$\Phi_{\ell}^{\sigma}(IM) = \sum_{\rho} f_{\rho, \ell}^{\sigma, I} \tilde{\Psi}_{\rho}^{\sigma, I} \quad (45)$$

где $(\ell, \rho) = \{g^r, \beta, \mathcal{Y}, S\}$; $f_{\rho, \ell}^{\sigma, I}$ - амплитуды смешивания состояний; ℓ - номер ротационно-вибрационной полосы; ρ - номер компоненты. Свойства симметрии волновой функции [2] приводят к соотношению для сигнатуры $(-1)^I \sigma = 1$. Найденные нами амплитуды смешивания при решении уравнений (44) позволяют вычислить приведенные вероятности $E2$ - и $M1$ -переходов.

Напишем общее выражение для приведенных м.э. $E2$ -перехода в рамках рассматриваемой модели:

$$\begin{aligned} & \langle \Phi_{g^r}^{\sigma=+}(I') \| \mathcal{M}(E2, \mu) \| \Phi_{\ell}^{\sigma=-}(I) \rangle = \\ & = \sqrt{2I+1} \left\{ \sum_{(\rho=g^r, \beta, \mathcal{Y}, S)} Q_{\rho} f_{\rho, g^r}^{I'} f_{\rho, \ell}^I C_{I, \rho, 2, 0}^{I', I} + \sum_{(\rho=\beta, \mathcal{Y})} m_{k, \rho} f_{g^r, g^r}^{I'} f_{\rho, \ell}^I C_{I, k, 2, k, \rho}^{I', 0} \left(\frac{2}{1+\delta_{k,0}}\right)^{1/2} \right. \\ & + \sum_{(\rho=\beta, \mathcal{Y})} m_{k, \rho'} f_{\rho', g^r}^{I'} f_{g^r, \ell}^I C_{I, 2, k, \rho'}^{I', k, \rho'} \left(\frac{2}{1+\delta_{k,0}}\right)^{1/2} + Q_0 \Theta_0 A_0 \frac{1}{\sqrt{2}} \left[f_{g^r, g^r}^{I'} f_{S, \ell}^I \left(\sqrt{I(I+1)} C_{I, 1, 2, 0}^{I', 1} + \right. \right. \\ & \left. \left. + \sqrt{I(I+1)} C_{I, 0, 2, 0}^{I', 0} \right) + f_{S, g^r}^{I'} f_{g^r, \ell}^I \left(\sqrt{I(I+1)} C_{I, 0, 2, 0}^{I', 0} + \sqrt{I(I+1)} C_{I, 1, 2, 0}^{I', 1} \right) \right] + \\ & + m_0 \Theta_0 A_0 \frac{1}{\sqrt{2}} \left[f_{\beta, g^r}^{I'} f_{S, \ell}^I \left(\sqrt{I(I+1)} C_{I, 1, 2, 0}^{I', 1} + \sqrt{I(I+1)} C_{I, 0, 2, 0}^{I', 0} \right) + \left(\sqrt{I(I+1)} C_{I, 0, 2, 0}^{I', 0} + \right. \right. \\ & \left. \left. + \sqrt{I(I+1)} C_{I, 1, 2, 0}^{I', 1} \right) f_{S, g^r}^{I'} f_{\beta, \ell}^I \right] + m_2 \Theta_0 A_0 \left[f_{\mathcal{Y}, g^r}^{I'} f_{S, \ell}^I \left(\frac{3}{2} \sqrt{(I-2)(I+3)} C_{I, 1, 2, 0}^{I', 3} + \right. \right. \\ & \left. \left. + \sqrt{I(I+1)} C_{I, 0, 2, 2}^{I', 2} - \frac{1}{2} \sqrt{(I-1)(I+2)} C_{I-1, 2, 2}^{I', 1} \right) + f_{S, g^r}^{I'} f_{\mathcal{Y}, \ell}^I \left(\frac{1}{2} \sqrt{(I-1)(I+2)} C_{I-1, 2, 2}^{I', 1} - \right. \right. \\ & \left. \left. - \frac{3}{2} \sqrt{(I-2)(I+3)} C_{I, 3, 2-2}^{I', 1} - \sqrt{I(I+1)} C_{I-2, 2, 2}^{I', 0} \right) \right] + Q_0^{(\Theta)} \Theta_0 \sqrt{3} \left(f_{g^r, g^r}^{I'} f_{S, \ell}^I C_{I-1, 2, 1}^{I', 0} - \right. \\ & \left. - f_{S, g^r}^{I'} f_{g^r, \ell}^I C_{I, 0, 2, 1}^{I', 1} \right) + m_0^{(\Theta)} \Theta_0 \sqrt{3} \left(f_{\beta, g^r}^{I'} f_{S, \ell}^I C_{I-1, 2, 1}^{I', 0} - f_{S, g^r}^{I'} f_{\beta, \ell}^I C_{I, 0, 2, 1}^{I', 1} \right) + \\ & \left. + m_2^{(\Theta)} \Theta_0 \sqrt{3} \left(f_{\mathcal{Y}, g^r}^{I'} f_{S, \ell}^I C_{I, 1, 2, 1}^{I', 2} - f_{S, g^r}^{I'} f_{\mathcal{Y}, \ell}^I C_{I, 2, 2-1}^{I', 1} \right) \right\}. \end{aligned} \quad (46)$$

Приведенная вероятность перехода имеет вид

$$B(E2; I, l \rightarrow I', gr) = \frac{(e^2 q_{gr} \mu_{gr})}{2I+1} \frac{5}{16\pi} \left(\langle \Phi_{gr}^{\sigma=+}(I') \| \mathcal{M}(E2, \mu) \| \Phi_l^{\sigma=+}(I) \rangle \right)^2 \quad (47)$$

Запишем выражения для приведенных вероятностей магнитных дипольных переходов:

$$B(M1; I, \gamma \rightarrow I-1, \gamma) = [B(M1)^\dagger] \frac{1}{2I+1} \left\{ f_{gr, \gamma}^{I-1} f_{s, \gamma}^I \left(\frac{I+1}{8} \right)^{1/2} + f_{x, \gamma}^{I-1} f_{x, \gamma}^I (4\Theta_0 A_0) \left[\frac{(I-2)(I+2)}{I} \right]^{1/2} + f_{s, \gamma}^{I-1} f_{s, \gamma}^I \Theta_0 A_0 \frac{I+2}{4} \left[\frac{(I-1)(I+1)}{I} \right]^{1/2} \right\}^2 \quad (48)$$

где в данной ситуации $\Delta I = 1$ и $\gamma = \gamma$ или gr . При $\Delta I = 0$ и $\gamma' = \beta, \gamma, s$ имеем

$$B(M1; I, \gamma' \rightarrow I, gr) = [B(M1)^\dagger] \frac{1}{8} \left\{ f_{gr, gr}^I f_{gr, \gamma'}^I + f_{s, gr}^I f_{s, \gamma'}^I + \Theta_0 A_0 [2I(I+1)]^{-1/2} \left[f_{s, gr}^I f_{s, \gamma'}^I (I-1)(I+2) + f_{x, gr}^I f_{x, \gamma'}^I \cdot 4(I(I+1)-8) \right] \right\}^2 \quad (49)$$

В формулах (48) и (49) величина $B(M1)^\dagger$ есть лидирующая часть приведенной вероятности возбуждения состояния 1^+ из основного состояния четно-четного ядра, получаемая из (41) при $I = 0$ и совпадающая со значением, приводимым в работе ^{1/1}:

$$B(M1)^\dagger = \frac{3}{16\pi} (q_p - q_n)^2 \frac{1}{\Theta_0^2} \left(\frac{ek}{2mc} \right)^2 \quad (50)$$

4. Проявление неадиабатических эффектов в электрических и магнитных переходах между состояниями gr -, β -, γ - и S-полос на примере ядра ²³²Th

Формулы, приведенные в предыдущих разделах, были использованы нами для изучения неадиабатических эффектов, вызванных смешиванием S-полосы ($K^\pi = 1^+$) с полосами нижайших состояний ядра ²³²Th. Описание спектра достигается диагонализацией гамильтоновской матрицы (19). Процедура фиксирования параметров описана в ^{1/3}. Спектр, приведенный на рис.2, получен при расчете с параметрами, несколько отличающимися от указанных в работе ^{1/3} (см. табл.1). Как следует из рисунка, воспроизведение экспериментальных данных о спектре ^{1/6} вполне удовлетворительное. Амплитуды смешивания состояний приведены в таблице 2. Видно, что воспроизведение экспериментальных данных достигается при значительном смешивании состояний β - и γ -полос уже при спинах порядка 10 единиц Планка.

Таблица 1. Параметры, использованные при расчетах спектра ядра ²³²Th

γ МэВ ⁻¹	γ_γ МэВ ⁻¹	ω_{gr}	ω_β МэВ	ω_s МэВ	Параметры недиагональных элементов \hat{H}					
					$P_{s, \gamma}$	$P_{s, \beta}$	$P_{\gamma, \beta}$	$P_{\gamma, gr}$	$P_{\beta, gr}$	
66,52	74,3	0	0,7303	0,747	2,195	0,005625	0,56254	0,000077	0,0022	0,00122

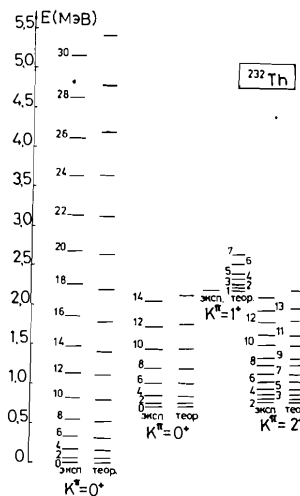


Рис.2

Для уменьшения числа параметров оператора электрического квадрупольного момента сделано предположение, что все величины, определяющие вклад протонной и нейтронной компонент в этот оператор, можно представить в виде

$$X_p = \frac{1}{2} X(1+\delta), \quad X_n = \frac{1}{2} X(1-\delta), \quad (51)$$

где $X_{p(N)}$ - каждый из параметров $Q_0^{p(N)}$, $m_0^{p(N)}$, $m_2^{p(N)}$. Для разности моментов инерции протонной и нейтронной компонент использована формула

$$(\gamma_p - \gamma_n) = \gamma \left[1 - \frac{4\alpha}{5\alpha-1} \right]^{1/2}, \quad \alpha = \frac{\gamma_\gamma}{\gamma}, \quad (52)$$

следующая из соотношений, приведенных в ^{2/2} (при $\Sigma = 0$). Тогда величины Θ_0 и

A_0 , фигурирующие в выражениях для вероятностей переходов, фиксируются значениями моментов инерции gr -, β - и γ -полос. В таблице 3 даны значения параметров, использованные при расчете вероятностей переходов. Подгонка вычисленных значений матричных элементов E2-перехода осуществлялась подбором трех параметров m_0 , m_2 и δ .

Результаты расчета абсолютных значений B(E2)- и B(M1)-факторов приведены в таблице 4 в сравнении с имеющимися экспериментальными данными (см. работу ^{1/7}). За исключением B(E2; 2 β \rightarrow 2 gr) соответствие рассчитанных и измеренных значений B(E2)-факторов хорошее.

Значительно более обширная информация имеется о ветвлении различных электрических переходов. Данные расчета и экспериментальная информация ^{1/6} об отношениях B(E2) из состояний разных полос в основную полосу собраны в таблице 5. Модель оказывается в состоянии воспроизвести

Таблица 2. Структура состояний положительной четности ядра ^{232}Th

I	g^r -полоса				β -полоса			
	$f_{g^r, g^r}^{(+)}$	$f_{\beta, g^r}^{(+)}$	$f_{g^r, \beta}^{(+)}$	$f_{s, g^r}^{(+)}$	$f_{g^r, \beta}^{(+)}$	$f_{\beta, \beta}^{(+)}$	$f_{g^r, \beta}^{(+)}$	$f_{s, \beta}^{(+)}$
2	0,9999	-0,0050	-0,0103	-0,0002	0,0048	0,9982	-0,0215	0,0553
4	0,9990	-0,0168	-0,0402	-0,0011	0,0127	0,9898	-0,1006	0,0996
6	0,9955	-0,0352	-0,0880	-0,0033	0,0140	0,9627	-0,2317	0,1391
8	0,9864	-0,0596	-0,1530	-0,0073	0,0043	0,9243	-0,3403	0,1725
10	0,9688	-0,0876	-0,2315	-0,0131	-0,0089	0,8985	-0,3888	0,2037
12	0,9417	-0,1156	-0,3153	-0,0202	-0,0206	0,8854	-0,4010	0,2340
14	0,9076	-0,1399	-0,3948	-0,0275	-0,0299	0,8783	-0,3982	0,2630
16	0,8713	-0,1584	-0,4633	-0,0340	-0,0374	0,8731	-0,3901	0,2900
18	0,8368	-0,1712	-0,5186	-0,0398	-0,0435	0,8684	-0,3807	0,3148
20	0,8064	-0,1793	-0,5619	-0,0431	-0,0487	0,8637	-0,3714	0,3372
22	0,7806	-0,1841	-0,5955	-0,0458	-0,0532	0,8589	-0,3628	0,3575
24	0,7592	-0,1867	-0,6216	-0,0475	-0,0571	0,8541	-0,3550	0,3758
26	0,7416	-0,1878	-0,6422	-0,0485	-0,0607	0,8493	-0,3480	0,3923
28	0,7269	-0,1880	-0,6587	-0,0488	-0,0639	0,8446	-0,3418	0,4070
30	0,7148	-0,1876	-0,6719	-0,0488	-0,0668	0,8401	-0,3362	0,4204

I	γ -полоса				S -полоса			
	$f_{g^r, \gamma}^{(+)}$	$f_{\beta, \gamma}^{(+)}$	$f_{\gamma, \beta}^{(+)}$	$f_{s, \gamma}^{(+)}$	$f_{g^r, s}^{(+)}$	$f_{\beta, s}^{(+)}$	$f_{\gamma, s}^{(+)}$	$f_{s, s}^{(+)}$
2	0,0104	0,0215	0,9997	0,0006	-0,0001	-0,0553	0,0006	0,9985
4	0,0417	0,0996	0,9941	0,0088	-0,0005	-0,0999	0,0013	0,9950
6	0,0938	0,2273	0,9698	0,0313	-0,0016	-0,1426	0,0017	0,9899
8	0,1643	0,3206	0,9278	0,0602	-0,0035	-0,1828	0,0018	0,9831
10	0,2476	0,3694	0,8918	0,0838	-0,0064	-0,2205	0,0015	0,9754
12	0,3357	0,3706	0,8601	0,1011	-0,0105	-0,2555	0,0006	0,9667
14	0,4184	0,3553	0,8280	0,1147	-0,0159	-0,2878	-0,0011	0,9576
16	0,4889	0,3343	0,7957	0,1269	-0,0228	-0,3175	-0,0038	0,9480
18	0,5448	0,3124	0,7655	0,1393	-0,0313	-0,3450	-0,0077	0,9381
20	0,5879	0,2912	0,7350	0,1531	-0,0418	-0,3703	-0,0131	0,9279
22	0,6203	0,2708	0,7165	0,1690	-0,0545	-0,3938	-0,0203	0,9173
24	0,6445	0,2506	0,6976	0,1876	-0,0699	-0,4158	-0,0298	0,9063
26	0,6622	0,2298	0,6816	0,2097	-0,0885	-0,4366	-0,0420	0,8943
28	0,6747	0,2075	0,6679	0,2362	-0,1110	-0,4563	-0,0576	0,8810
30	0,6823	0,1825	0,6553	0,2679	-0,1384	-0,4751	-0,0774	0,8655

Таблица 3. Параметры, использованные при расчетах вероятностей переходов

Q_0 (Фм^2)	m_0	m_2	δ	A_c	Q_c
969	80	-80	0,23	0,15969	0,08355

Таблица 4. Сравнение экспериментальных [7] и теоретических значений $B(E2)$ - и $B(M1)$ -факторов ядра ^{232}Th

$I_l \rightarrow I'_{gr}$	$B(E2)$ (ед. Вайскопфа)		$B(M1)$ (ед. Вайскопфа)	
	эксп.	теор.	эксп.	теор.
$2\beta \rightarrow 0_{gr}$	2,3(9)	1,75	-	-
$2\beta \rightarrow 2_{gr}$	0,06(3)	2,04	-	$0,80 \cdot 10^{-5}$
$2\beta \rightarrow 4_{gr}$	3,2(1,2)	3,27	-	-
$2\gamma \rightarrow 0_{gr}$	2,6(3)	2,41	-	-
$2\gamma \rightarrow 2_{gr}$	7,1(8)	6,10	$3,0 \cdot 10^{-5}$	$3,87 \cdot 10^{-5}$
$2\gamma \rightarrow 4_{gr}$	0,13(2)	0,63	-	-

экспериментальную ситуацию, для которой характерны сильные отклонения от правил адиабатической теории для ветвления переходов.

Особый интерес для нас представляли магнитные переходы. В выражениях для $M1$ -переходов, кроме параметров, которые были найдены из подгонки данных по спектру и квадрупольным переходам, есть величина $B(M1)$ (см. формулу (50)) - приведенная вероятность возбуждения состояния I^+ из основного состояния ядра. Экспериментальное значение этого фактора для ^{232}Th , равное $1,5 \mu^2$ (при энергии возбуждения $E_{I^+} \approx 2,208 \text{ МэВ}$), взято из работы [8]. Как видно из таблицы 4, теория воспроизводит весьма точно значение $B(M1)$ -фактора для перехода $2\gamma \rightarrow 2_{gr}$ - единственное измеренное значение $B(M1)$ -фактора для низколежащих состояний. Таблицы 6 и 7 содержат дополнительную информацию о магнитных характеристиках состояний β - и γ -полос. Видно, что вместе с ростом спина состояний приведенная вероятность магнитных переходов увеличивается. Сопоставление времен жизни по отношению к излучению квадрупольных и магнитных дипольных γ -квантов (см. табл.8) показывает, что, например, при распаде состояний γ -полосы интенсивность $M1$ -квантов может составить значительную долю интенсивности излучения, соответствующего переходам $I \rightarrow I-1$. Экспериментальная проверка этого вывода могла бы служить критерием физической обоснованности модели.

Таблица 5. Сравнение экспериментальных /6/ и теоретических значений отношений вероятностей E2-переходов

I	$\frac{B(E2; I, \beta \rightarrow I+2, gr)}{B(E2; I, \beta \rightarrow I-2, gr)}$			$\frac{B(E2; I, \gamma \rightarrow I+2, gr)}{B(E2; I, \gamma \rightarrow I-2, gr)}$		
	эсп.	теор.	Алага	эсп.	теор.	Алага
2	1,3(7)	1,865	2,57	0,12(13)	0,264	0,071
4	0,9(2)	1,050	1,59	1,8(1,9)	5,30	0,25
6	1,8(6)	1,070	1,37	20(18)	32,31	0,39
8	-	1,316	1,27	29(30)	2,2	0,44
10	-	1,543	1,21	-	0,814	0,56
12	-	1,632	1,17	-	0,294	0,62

I	$\frac{B(E2; I, \gamma \rightarrow I+2, gr)}{B(E2; I, \gamma \rightarrow I, gr)}$			$\frac{B(E2; I, \gamma \rightarrow I-2, gr)}{B(E2; I, \gamma \rightarrow I, gr)}$		
	эсп.	теор.	Алага	эсп.	теор.	Алага
2	0,06(6)	0,105	0,50	0,52(6)	0,396	0,70
4	0,2(2)	0,211	0,086	0,10(1)	0,040	0,34
6	0,56(13)	0,245	0,10	0,029(23)	0,008	0,27
8	0,7(7)	0,210	0,11	0,024(17)	0,095	0,24
10	-	0,235	0,11	0,022(15)	0,288	0,22
12	-	0,146	0,12	-	0,496	0,21

Таблица 6. Теоретически вычисленные значения B(M)-факторов между разными состояниями ядра ^{232}Th

$I_2 \rightarrow I_{gr}$	$B(M; I_2 \rightarrow I_{gr})$ (ед. Вайск.)	$B(M; I_2 \rightarrow I_{gr})$ (ед. Вайск.)	$I_2 \rightarrow (I-1)_2$	$B(M; I_2 \rightarrow I-1, gr)$ (ед. Вайск.)	$B(M; I_2 \rightarrow I-1, gr)$ (ед. Вайск.)
2 → 2	$0,80 \cdot 10^{-5}$	$3,87 \cdot 10^{-5}$	3 → 2	$2,78 \cdot 10^{-7}$	$1,82 \cdot 10^{-3}$
4 → 4	$5,80 \cdot 10^{-5}$	$4,80 \cdot 10^{-4}$	5 → 4	$5,3 \cdot 10^{-6}$	$2,89 \cdot 10^{-3}$
6 → 6	$1,1 \cdot 10^{-4}$	$2,0 \cdot 10^{-3}$	7 → 6	$2,71 \cdot 10^{-5}$	$3,08 \cdot 10^{-3}$
8 → 8	$1,214 \cdot 10^{-4}$	$5,95 \cdot 10^{-3}$	9 → 8	$8,44 \cdot 10^{-5}$	$2,96 \cdot 10^{-3}$
10 → 10	$1,94 \cdot 10^{-4}$	$9,44 \cdot 10^{-3}$	11 → 10	$1,96 \cdot 10^{-4}$	$2,807 \cdot 10^{-3}$
12 → 12	$4,4 \cdot 10^{-4}$	$1,35 \cdot 10^{-2}$	13 → 12	$3,68 \cdot 10^{-4}$	$2,65 \cdot 10^{-3}$

Таблица 7. Сопоставление времен жизни по отношению к излучению квадрупольных и магнитных дипольных J-квантов в ядре ^{232}Th

I	$T(M1; I_2 \rightarrow I_{gr})$	$T(E2; I_2 \rightarrow I_{gr})$	$T(M1; I_2 \rightarrow I-1, gr)$	$T(E2; I_2 \rightarrow I-1, gr)$	$T(M1; I_2 \rightarrow I-1, gr)$	$T(E2; I_2 \rightarrow I-2, gr)$	$T(M1; I_2 \rightarrow I-2, gr)$	$T(E2; I_2 \rightarrow I-2, gr)$	$T(M1; I_2 \rightarrow I-2, gr)$	$T(E2; I_2 \rightarrow I-2, gr)$
2	0,00060	0,00071	0,02453	0,00204	0,00112	0,00002	0,00002	0,00002	0,00002	0,00002
4	0,01285	0,00730	0,1945	0,13138	0,01075	0,00035	0,00035	0,00035	0,00035	0,00035
6	0,03437	0,02466	1,0801	1,84786	0,04080	0,00152	0,00152	0,00152	0,00152	0,00152
8	0,05650	0,04406	5,630	0,27680	0,10354	0,00363	0,00363	0,00363	0,00363	0,00363
10	0,15317	0,07744	18,57	0,14222	0,21560	0,00662	0,00662	0,00662	0,00662	0,00662
12	0,70300	0,1305	104,62	0,11460	0,38624	0,01042	0,01042	0,01042	0,01042	0,01042

Таблица 8. Отношения вероятностей M1- и E2-распада состояний γ -полосы ядра ^{232}Th .

I	$\frac{T(M1; \gamma; I \rightarrow I-1)}{T(E2; \gamma; I \rightarrow I-1)}$	$\frac{T(M1; \gamma; I \rightarrow I-1)}{T(E2; \gamma; I \rightarrow I-2)}$	I	$\frac{T(M1; \gamma; I \rightarrow I-1)}{T(E2; \gamma; I \rightarrow I-1)}$	$\frac{T(M1; \gamma; I \rightarrow I-1)}{T(E2; \gamma; I \rightarrow I-2)}$
4	0,22463	0,03166	3	0,22066	-
6	0,23970	0,00776	5	0,27002	0,01168
8	0,26524	0,00365	7	0,31033	0,00385
10	0,30556	0,00221	9	0,35620	0,00185
12	0,38606	0,00146	11	0,39140	0,00110
14	0,50512	0,00092	13	0,40400	0,00080

Литература

- De Franceschi G., Palumbo F., Lo Iudice N. Phys.Rev., C29, 1984, p.1496-1509.
- Михайлов И.Н., Усманов И.Н., Юлдашбаева Э.Х. ЯФ, 45, 1987, с.646-656.
- Михайлов И.Н., Юлдашбаева Э.Х., Бриансон Ш. ОИЯИ, Р4-86-570, Дубна, 1986.
- Варшавович Д.А., Москалев А.Н., Херсонский В.К. Квантовая теория углового момента. Ленинград: Наука, 1975.
- Бор О., Моттельсон Б. Теория атомного ядра, т.1,2. Москва: Мир, 1971.
- Lefebvre A. Thèse d'Etat, Université de Paris-Sud, Centre d'ORSAY, n° d'ordre:2888, Juin, 1984.
- Schmorak M.R. Nucl. Data Sheets, v.36, 1980, p.367.
- Richter A. Proceedings of the Niels Bohr Centennial Conferences, Nuclear Structure, North-Holland, 1985, p.469-488.

Рукопись поступила в издательский отдел
9 июня 1987 года.

Михайлов И.Н., Юлдашбаева Э.Х., Бриансон Н.
Электромагнитные характеристики низколежащих состояний
в двухроторной модели ядра

P4-87-395

В рамках двухроторной модели ядра, в которой допускаются относительные повороты протонов и нейтронов, исследуются неадиабатические эффекты, вызываемые возбуждениями M1-моды между состояниями g -, β - и γ -полос. Изучен спектр состояний положительной четности ядра ^{232}Th . Получены общие выражения для мультипольных операторов и основные матричные элементы M1- и E2-переходов между рассматриваемыми состояниями. Вычислены приведенные вероятности M1- и E2-переходов из β - и γ -полос в состояния основной полосы, а также их отношения. Даются сравнения с экспериментальными значениями и оценка отношений вероятностей M1- и E2-распада состояний γ -полосы ядра ^{232}Th .

Работа выполнена в Лаборатории теоретической физики ОИЯИ.

Препринт Объединенного института ядерных исследований. Дубна 1987

Перевод О.С.Виноградовой

Mikhailov I.N., Yuldashbaeva E.Kh., Briancon S.
Electromagnetic Characteristics of the Low-Lying States
in Terms of the "Two-Rotor" Model of a Nucleus

P4-87-395

The nonadiabatic effects are explored caused by excitations of M1-mode among the states of g -, β - and γ -bands within the "two-rotor" model which assumes the rotation of neutron component as a whole with respect to the proton component. The positive parity state spectrum of ^{232}Th nucleus is investigated. Common expressions for multipole operators and fundamental matrix elements for M1 and E2 transitions are obtained. Reduced probabilities of M1 and E2 transitions out of β - and γ -bands into ground band states and their ratio are calculated. The comparison with experimental data is presented, and the ratio of M1 and E2 decay probabilities of γ -band states for ^{232}Th nucleus is estimated.

The investigation has been performed at the Laboratory of Theoretical Physics, JINR.

Preprint of the Joint Institute for Nuclear Research. Dubna 1987